

Pregledni rad

## **$^{14}\text{C}$ AKTIVNOST U OKOLIŠU: ATMOSFERA I BIOSFERA**

Ines KRAJCAR BRONIĆ, Bogomil OBELIĆ, Nada HORVATINČIĆ, Jadranka BAREŠIĆ  
i Andreja SIRONIĆ

*Institut Ruđer Bošković, Zagreb, Hrvatska*

Primljeno u svibnju 2010.

Prihvaćeno u kolovozu 2010.

Prirodna ravnotežna  $^{14}\text{C}$  aktivnost u atmosferskom ugljikovu dioksidu i u biosferi narušena je na globalnoj razini ljudskom djelatnošću. Intenzivni termonuklearni atmosferski pokusi sredinom 20. stoljeća uzrokovali su naglo povišenje  $^{14}\text{C}$  aktivnosti u atmosferi na razinu gotovo dvostruko višu od prirodne, a nakon zabrane pokusa  $^{14}\text{C}$  aktivnost se smanjuje i danas je gotovo dosegla prirodnu ravnotežnu vrijednost. U ovom su radu prikazani rezultati praćenja  $^{14}\text{C}$  aktivnosti u atmosferskom  $\text{CO}_2$ , godovima drveća i biološkim uzorcima na nekoliko karakterističnih lokacija na području Hrvatske i Slovenije. Globalne promjene  $^{14}\text{C}$  aktivnosti opažaju se i na "čistim" lokacijama u zaštićenim područjima. U urbanim sredinama opažaju se lokalni efekti sniženja  $^{14}\text{C}$  aktivnosti u atmosferi zbog povećanog izgaranja fosilnih goriva, što je posebno izraženo u zimskim mjesecima. U okolini nuklearne elektrane opaža se povišenje  $^{14}\text{C}$  aktivnosti u atmosferskom  $\text{CO}_2$  za vrijeme i neposredno nakon izmjene gorivih elemenata, a ako se remont provodi početkom vegetacijskog razdoblja, tada se opaža povišena  $^{14}\text{C}$  aktivnost i u biljkama iz neposredne okolice.

**KLJUČNE RIJEČI:**  $\text{CO}_2$ , Hrvatska, nuklearna elektrana, remont, Slovenija, termonuklearni atmosferski pokusi

Radioaktivni izotop ugljika,  $^{14}\text{C}$ , nastaje u Zemljinoj atmosferi reakcijom neutrona iz kozmičkog zračenja s jezgrama dušika  $^{14}\text{N}$ . zajedno s drugim ugljikovim izotopima u obliku  $\text{CO}_2$  ulazi u biološki i geokemijski prirodni ugljikov ciklus. U živim organizmima je uspostavljena ravnoteža između raspada radioaktivnog ugljika  $^{14}\text{C}$  i njegova nadoknađivanja asimilacijom ili prehranom. Nakon smrti nema više nadoknađivanja  $^{14}\text{C}$ , a proces radioaktivnog raspada se nastavlja, što čini osnovu za određivanje starosti biološkog materijala metodom radioaktivnog ugljika (1).

Prirodna ravnoteža  $^{14}\text{C}$  u atmosferi i biosferi narušena je ljudskim aktivnostima nakon druge polovice 19. stoljeća. Intenzivna uporaba fosilnih goriva (ugljen, nafta), koja ne sadržavaju  $^{14}\text{C}$ , uzrokovala je povišenje koncentracije  $\text{CO}_2$  u atmosferi i sniženje  $^{14}\text{C}$  aktivnosti u atmosferskom  $\text{CO}_2$ . S druge strane,

intenzivni atmosferski nuklearni pokusi sredinom 20. stoljeća uzrokovali su porast  $^{14}\text{C}$  aktivnosti u atmosferi na razinu gotovo dvostruko višu od prirodne (2, 3). Nakon zabrane nuklearnih pokusa te zbog izmjene  $^{14}\text{C}$  iz atmosfere s drugim spremnicima ugljika, pogotovo oceanom i biosferom, dolazi do pada atmosferske  $^{14}\text{C}$  aktivnosti s vremenom relaksacije od oko 16 godina (3) te je ona danas tek nešto viša od prirodne ravnotežne vrijednosti. Kratkotrajno povišenje atmosferske  $^{14}\text{C}$  aktivnosti, poznato u literaturi kao " $^{14}\text{C}$  bomb peak", omogućilo je da  $^{14}\text{C}$  postane obilježivač s pomoću kojega se mogu pratiti neki biološki i geokemijski procesi, pa se primjenjuje u različitim studijama kretanja ugljika u okolišu, kao i u forenzici i biomedicinskim istraživanjima.

$^{14}\text{C}$  aktivnost atmosfere odražava se u biljkama, budući da one prilikom fotosinteze koriste  $\text{CO}_2$  iz atmosfere. Izmjerena  $^{14}\text{C}$  aktivnost u jednogodišnjim

biljkama ili godovima drveća tako odražava srednju vrijednost  $^{14}\text{C}$  aktivnosti u atmosferskom  $\text{CO}_2$  za vrijeme vegetacijskog perioda. Ta se činjenica koristi za rekonstrukciju lokalne  $^{14}\text{C}$  aktivnosti u prošlosti mjerljem  $^{14}\text{C}$  aktivnosti u godovima drveća. Usponjba  $^{14}\text{C}$  aktivnosti godova drveća starog do 12 500 godina i apsolutne starosti godova određene dendrokronologijom rabi se za kalibraciju izmjerenih  $^{14}\text{C}$  starosti (1).

Nuklearna postrojenja, posebno nuklearne elektrane, mogu također utjecati na povišenje radioaktivnosti u atmosferi u svojoj neposrednoj okolini, kao i u biološkom materijalu (biljkama) koji raste u okolini elektrana. Tako  $^{14}\text{C}$  može ući i u ljudski prehrambeni lanac i može pridonijeti povećanju prirodne doze lokalnog stanovništva. Zbog svega navedenog praćenje  $^{14}\text{C}$  aktivnosti u okolišu može dati neke odgovore na pitanja u kojoj mjeri čovjek svojim aktivnostima utječe na okoliš.

Proučavanje ciklusa ugljika u prirodi i posebno izotopa  $^{14}\text{C}$  u okolišu uključuje praćenje  $^{14}\text{C}$  aktivnosti u atmosferi (u  $\text{CO}_2$ ), u biosferi (biljke) te u vodi (otopljeni ugljik), u tlu i sedimentima. U ovom radu ograničit ćemo se na  $^{14}\text{C}$  aktivnost u atmosferi i biosferi.

## MJERENJE

U Laboratoriju za mjerjenje niskih aktivnosti Instituta "Ruđer Bošković" mjeri se  $^{14}\text{C}$  aktivnost različitih vrsta uzoraka od 1968. godine. Do 2004. godine za mjerjenje  $^{14}\text{C}$  aktivnosti rabi se plinski proporcionalni brojač punjen metanom ( $\text{CH}_4$ ) kao brojačkim plinom, a od 2004. rabi se tekućinski scintilacijski brojač *Quantulus 1220*, u kojem se mjere uzorci pripremljeni u obliku benzena ili kao  $\text{CO}_2$  apsorbiran u apsorpcionskoj smjesi (4, 5).

Uzorci atmosferskog  $\text{CO}_2$  skupljaju se metodom kemijske apsorpcije  $\text{CO}_2$  u zasićenoj otopini  $\text{NaOH}$ . Nastali  $\text{Na}_2\text{CO}_3$  otapa se u laboratoriju u kiselini ( $\text{HCl}$ ), a dobiveni  $\text{CO}_2$  služi za daljnju pripremu benzena. Postupak pripreme benzena uključuje reakciju  $\text{CO}_2$  iz uzorka s litijem na 500 °C u kojoj nastaje  $\text{Li}_2\text{C}_2$ , koji reakcijom hidrolize prelazi u acetilen ( $\text{C}_2\text{H}_2$ ). Polimerizacijom acetilena na vanadijevu katalizatoru dobije se benzen (4, 6).

Biološki uzorci se suše, karboniziraju pirolizom na 600 °C te oksidiraju (spaljuju) u struji kisika. Dobiveni  $\text{CO}_2$  apsorbira se u apsorpcijsko-scintilacijskoj smjesi sastavljenoj od 10 mL Carbosorba®E i 10 mL Permafluora®E (4, 5, 7).

Rezultati mjerjenja  $^{14}\text{C}$  aktivnosti raznih vrsta uzoraka normaliziraju se na istu vrijednost koncentracije stabilnog izotopa ugljika  $^{13}\text{C}$ , koja prema konvenciji iznosi  $\delta^{13}\text{C}^1 = -25 \text{ ‰}$  (8). Mjerljem  $\delta^{13}\text{C}$  u  $\text{Na}_2\text{CO}_3$  dobivenom uzorkovanjem atmosferskog  $\text{CO}_2$  u razdoblju 2003.–2007. dobivene su vrijednosti između -28,1 ‰ i -20,7 ‰, sa srednjom vrijednošću  $(-24,0 \pm 1,7) \text{ ‰}$  (9, 10), koja se dalje rabi za tzv.  $\delta^{13}\text{C}$  normalizaciju rezultata mjerjenja  $^{14}\text{C}$  aktivnosti) u atmosferskom  $\text{CO}_2$ . Za drvo i većinu biljaka iz naših krajeva (jabuke, pšenica, kelj, trava)  $\delta^{13}\text{C}$  iznosi -25 ‰, a za normalizaciju  $^{14}\text{C}$  aktivnosti kukuruza rabi se  $\delta^{13}\text{C} = -10 \text{ ‰}$ .

Rezultat mjerjenja  $^{14}\text{C}$  aktivnosti može se izraziti kao specifična aktivnost  $A^{14}\text{C}$  ( $\text{Bq kg}^{-1}$  ugljika), ili kao relativna specifična aktivnost

$$a^{14}\text{C} = (A^{14}\text{C} / A^{14}\text{C}_0) \times 100 \quad (1)$$

gdje je  $A^{14}\text{C}_0$  specifična  $^{14}\text{C}$  aktivnost atmosfere neporemećene ljudskim utjecajem ( $226 \text{ Bq kg}^{-1}$  ugljika). Relativna specifična aktivnost izražava se kao "percent of Modern Carbon", pMC = postotak modernog ugljika, a prema definiciji (1) relativna specifična aktivnost od 100 pMC odgovara specifičnoj aktivnosti od  $226 \text{ Bq kg}^{-1}$  ugljika (8). U ovom radu izraz " $^{14}\text{C}$  aktivnost" podrazumijeva relativnu specifičnu aktivnost  $^{14}\text{C}$ .

## UZORKOVANJE

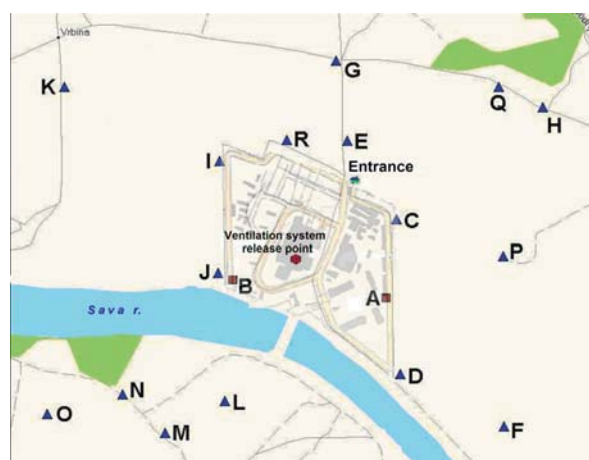
Na tablici 1 navedene su lokacije u Hrvatskoj i Sloveniji na kojima je uzorkovan atmosferski  $\text{CO}_2$  ili biološki materijal (drvo, bilje) za mjerjenje  $^{14}\text{C}$  aktivnosti. Praćenje  $^{14}\text{C}$  aktivnosti u atmosferskom  $\text{CO}_2$  provodi se na mjestima različitog antropogenog utjecaja, kako bi se odredile moguće razlike između "čistog" područja (engl. *clean-air site*), urbanog središta s industrijom i okoliša nuklearne elektrane. Mjesečni podaci o  $^{14}\text{C}$  aktivnosti u atmosferskom  $\text{CO}_2$  u Zagrebu postoje za razdoblje od 1986. godine do danas te za nešto kraća razdoblja na "čistim" područjima: Medvednica kraj Zagreba (3) i Plitvička jezera (3, 9, 11). Za šиру okolicu Nuklearne elektrane Krško (NEK) postoje podaci za razdoblje 1984.–1986. (12), a od 2006. godine prati se  $^{14}\text{C}$  aktivnost

<sup>1</sup>  $\delta^{13}\text{C}$  predstavlja relativno odstupanje omjera  $^{13}\text{C}/^{12}\text{C}$  u uzorku od omjera u međunarodnom standardu, izraženo u promilima (‰)

**Tablica 1** Lokacije na kojima se mjeri  $^{14}\text{C}$  aktivnost u atmosferskom  $\text{CO}_2$ , godovima drveća ili bilju

Lokacija	Koordinate	Nadmorska visina / m	Vrsta uzorka	Razdoblje uzorkovanja	Referencija
Zagreb – IRB	45 50 00 N 15 59 14 E	165	atm. $\text{CO}_2$	od 1986.	3, 9, 11
Puntijarka, Medvednica	45 54 14 N 15 58 09 E	968	atm. $\text{CO}_2$	1995. – 1996.	3
Plitvička jezera	44 52 54 N 15 37 09 E	536	drvo (godovi) listinac atm. $\text{CO}_2$	1950. – 1980. 2005. – 2006. 2003. – 2006.	3 15 9, 11
Krško, NEK	45 56 17 N 15 30 56 E	~160	atm. $\text{CO}_2$ bilje	od 2006. od 2006.	5, 13, 14
Libna, 1,5 km od NEK	45 56 59 N 15 31 46 E	~180	drvo (godovi) atm. $\text{CO}_2$	1979. – 1983. 1984. – 1986.	12
Pesje, 3 km od NEK	45 56 26 N 15 33 11 E	~160	bilje	1984. – 1986.	12
Dobova, 10 km od NEK	45 53 37 N 15 38 42 E	~170	bilje bilje	1984. – 1986. od 2006.	12 13, 14
Bistra, 34 km od NEK	45 54 16 N 15 51 05 E	~200	atm. $\text{CO}_2$	1984. – 1986.	12

u atmosferskom  $\text{CO}_2$  na dvije lokacije unutar kruga Nuklearne elektrane Krško (slika 1). Uzorci se skupljaju u dvomjesečnim intervalima, osim za vrijeme tzv. remonta elektrane, kad je razdoblje skupljanja kraće (13, 14).



**Slika 1** Lokacije uzorkovanja oko Nuklearne elektrane Krško.  
A, B – lokacije uzorkovanja atmosferskog  $\text{CO}_2$ , Lokacije uzorkovanja bioloških uzoraka u unutrašnjem (C, D, E, I, J, L i R) i vanjskom krugu (F, G, H, K, M, N, O, P i Q).

$^{14}\text{C}$  aktivnost godova drveta s Plitvičkim jezera i iz okolice Nuklearne elektrane Krško prije početka rada elektrane mjerena je radi rekonstrukcije  $^{14}\text{C}$  aktivnosti na našem području i usporedbe s globalnim promjenama  $^{14}\text{C}$  u atmosferi.

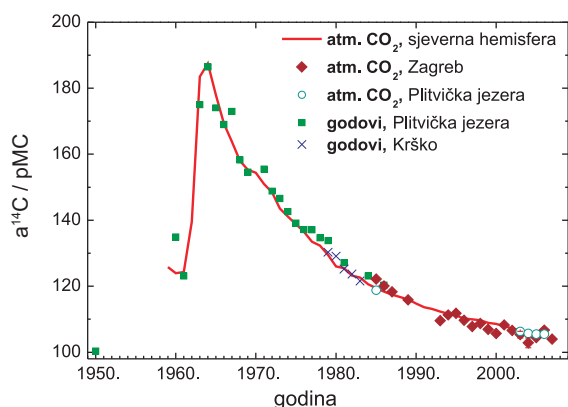
U svrhu praćenja  $^{14}\text{C}$  aktivnosti šumskog ekosustava Plitvičkih jezera sakupljan je listinac (jednogodišnji kompozitni uzorak lišća) na tri lokacije sa šumskim ekosustavom bukve, smreke i jele. Uzorci su skupljani na ograđenim plohamama veličine 1  $\text{m}^2$ , a uzeti su u prosincu 2005. i prosincu 2006. (15).

Biološki uzorci (jabuke, kukuruz, žito, trava) skupljani su u neposrednoj okolini Nuklearne elektrane Krško (NEK) u Sloveniji na lokacijama udaljenima 200 m do 400 m od ispusta (unutrašnji krug), i na širem području na lokacijama udaljenima oko 1000 m (vanjski krug) (slika 1). Kao kontrolna točka na kojoj se ne očekuje utjecaj NEK-a izabrana je lokacija Dobova, udaljena 10-ak km jugoistočno od NEK-a. Dvije serije uzorkovanja na godinu provode se od 2006. godine, prvo je na početku vegetacijskog perioda, obično krajem lipnja ili početkom srpnja, a drugo uzorkovanje je pri samom kraju vegetacijskog perioda, krajem rujna ili početkom listopada.

## REZULTATI

### Atmosfera

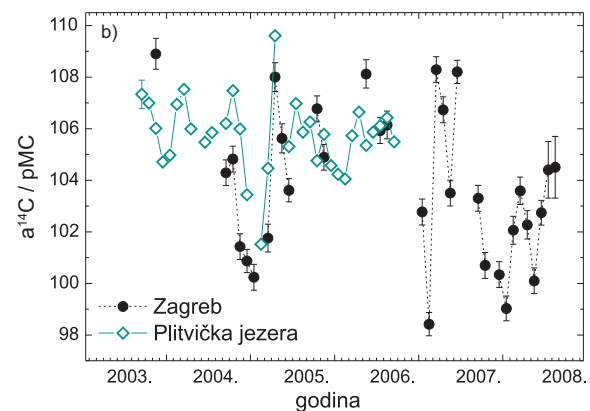
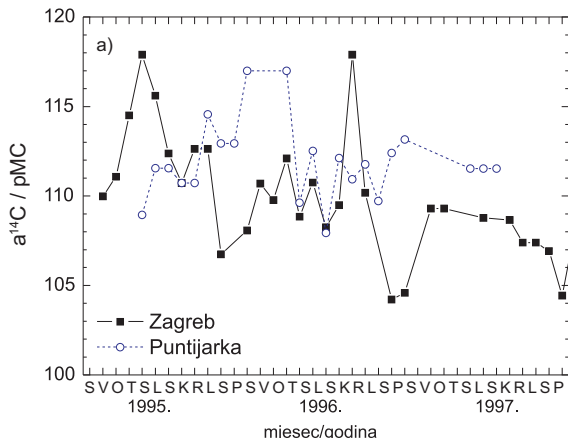
Na slici 2 uspoređene su srednje godišnje  $^{14}\text{C}$  aktivnosti atmosferskog  $\text{CO}_2$  u Zagrebu i na Plitvičkim jezerima s podacima s postaje Schauinsland u Njemačkoj koja se smatra tipičnom "čistom" postajom



**Slika 2** Srednje godišnje  $^{14}\text{C}$  aktivnosti u atmosferskom  $\text{CO}_2$  na referentnoj postaji za sjevernu hemisferu (Schauinsland) te na postajama Zagreb i Plitvička jezera, kao i u godovima drveća s područja Plitvičkih jezera i iz okolice Krškoga. pMC = postotak modernog ugljika

srednje Europe i često se rabi kao referentna postaja za cijelu sjevernu hemisferu (16, 17). Nakon maksimalne  $^{14}\text{C}$  aktivnosti 1963. godine, opaža se stalni postupni pad srednjih godišnjih  $^{14}\text{C}$  aktivnosti. U razdoblju 1963. – 1976. brzina pada  $^{14}\text{C}$  aktivnosti u atmosferi iznosila je oko 4 pMC na godinu, od 1976. do 1982. oko 2 pMC, od 1984. do 1996. oko 1,2 pMC (3), a nakon 2000. taj je pad vrlo usporen i iznosi oko 0,4 pMC na godinu.  $^{14}\text{C}$  aktivnost u atmosferi danas se približila onoj neporemećene atmosferi, prije promjena uzrokovanih ljudskom djelatnošću, pogotovo atmosferskim termonuklearnim pokusima.  $^{14}\text{C}$  aktivnost atmosferskog  $\text{CO}_2$  na Plitvičkim jezerima ne pokazuje odstupanja od postaje Schauinsland te je tako potvrđena prepostavka da je to "čisto područje" glede  $^{14}\text{C}$  aktivnosti, tj. područje bez čimbenika koji bi lokalno utjecali na  $^{14}\text{C}$  aktivnost u atmosferi. Srednje godišnje  $^{14}\text{C}$  aktivnosti atmosferskog  $\text{CO}_2$  u Zagrebu (u Institutu "Ruđer Bošković") prate pad globalne aktivnosti, a pri tome je srednja vrijednost za razdoblje 1993. – 2007. [( $107,3 \pm 2,6$ ) pMC] za oko 1 pMC niža od srednje vrijednosti s referentne srednjoeuropske postaje u istom razdoblju. Ta je razlika uzrokovana intenzivnim izgaranjem fosilnih goriva na gradskom području Zagreba (3, 9, 17).

Detaljnija slika mjesecnih  $^{14}\text{C}$  aktivnosti u atmosferskom  $\text{CO}_2$  u Zagrebu (slika 3) pokazuje da je ta aktivnost u zimskim mjesecima niža nego u ljetnim, a varijacije unutar jedne godine mogu biti značajne. Tako je 1986. godine, kada smo započeli sustavna mjerjenja u mjesecnim intervalima, najniža zimska  $^{14}\text{C}$  aktivnost iznosila 112,0 pMC, a najviša ljetna 123,2 pMC (9). U razdoblju 1995. – 1997. mjesecne su se



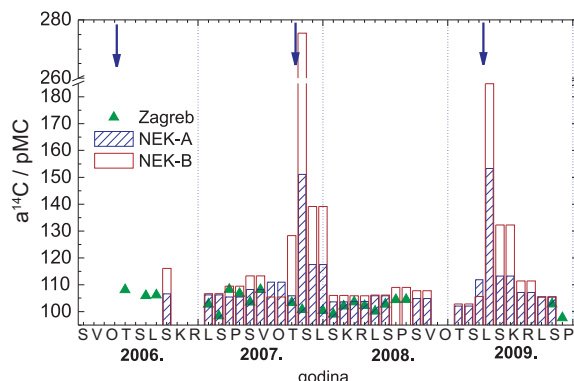
**Slika 3**  $^{14}\text{C}$  aktivnost u mjesecnim uzorcima atmosferskog  $\text{CO}_2$  na postajama Zagreb i Puntijarka u razdoblju 1995. – 1997. (a) te na postajama Zagreb i Plitvička jezera u razdoblju 2004. – 2008. (b). pMC = postotak modernog ugljika

$^{14}\text{C}$  aktivnosti u atmosferi u Zagrebu kretale od 104,2 pMC (u zimskim mjesecima) do 117,9 pMC (ljeti), sa srednjom vrijednošću ( $110,0 \pm 3,4$ ) pMC, dok je na postaji Puntijarka u istom razdoblju srednja vrijednost iznosila ( $111,9 \pm 2,2$ ) pMC (slika 3a). Najniža  $^{14}\text{C}$  aktivnost u zimskim mjesecima na postaji Puntijarka iznosi 107,9 pMC, što je za 3,7 pMC više nego u gradu Zagrebu, čime je dokazan značajan utjecaj izgaranja fosilnih goriva na  $^{14}\text{C}$  aktivnost atmosfere u urbanom središtu. U razdoblju 2005. – 2007. (10 godina nakon prethodno razmatranog razdoblja) mjesечne  $^{14}\text{C}$  aktivnosti u atmosferskom  $\text{CO}_2$  u Zagrebu kreću se od 98,4 pMC do 108,3 pMC sa srednjom vrijednošću ( $104,1 \pm 2,9$ ) pMC. Na Plitvičkim jezerima se u tom razdoblju (2003. – 2006.)  $^{14}\text{C}$  aktivnost kretala od 101,5 pMC do 109,6 pMC, sa srednjom vrijednošću ( $105,7 \pm 1,5$ ) pMC (slika 3b). Niža srednja  $^{14}\text{C}$  aktivnost u Zagrebu od one na Plitvičkim jezerima

potvrđuje utjecaj izgaranja fosilnih goriva na  $^{14}\text{C}$  aktivnost u atmosferi u Zagrebu.

Praćenje  $^{14}\text{C}$  aktivnosti atmosfere oko Nuklearne elektrane Krško od 1984. do 1986., na početku rada elektrane, pokazalo je srednje povišenje u okolini elektrane (Libna, tablica 1) od  $(2,2 \pm 0,9)$  pMC u odnosu na kontrolnu točku (Bistra), a najveći opaženi porast od 4,5 pMC opažen je u vrijeme izmjene gorivih elemenata (remont) (12). Na osnovi tog povišenja i srednjega godišnjeg faktora disperzije, procijenjen je godišnji ispust  $^{14}\text{C}$  iz elektrane na 0,1 TBq, što je tada bio jedini podatak o ispustu  $^{14}\text{C}$ . Posljednjih nekoliko godina rutinski se mjeri  $^{14}\text{C}$  aktivnost ispuštena u okoliš, i u godini u kojoj se održava remont (zamjena gorivih elemenata) taj se ispust kreće između 0,12 TBq i 0,14 TBq na godinu, dok je u godini bez remonta ispust za red veličine manji (14).

Praćenjem  $^{14}\text{C}$  u atmosferi koje se redovito provodi od 2006. godine dobiveni su detaljniji podaci o vremenskoj i prostornoj raspodjeli  $^{14}\text{C}$  aktivnosti u neposrednoj okolini NEK-a. Za trajanja remonta opažene su nešto više  $^{14}\text{C}$  aktivnosti u atmosferskom  $\text{CO}_2$  na lokaciji B koja leži u smjeru dominantnih vjetrova. Na toj su lokaciji najviše izmjerenе  $^{14}\text{C}$  aktivnosti iznosile 275 pMC i 185 pMC u razdoblju remonta u listopadu 2007. odnosno travnju 2009. (slika 4), dok su na lokaciji A koja leži izvan



Slika 4  $^{14}\text{C}$  aktivnost u atmosferskom  $\text{CO}_2$  na lokacijama A i B unutar kruga Nuklearne elektrane Krško u razdoblju 2006. – 2009. Strelice označavaju vrijeme izmjene gorivih elemenata (remont elektrane). Za usporedbu je prikazana i  $^{14}\text{C}$  aktivnost u atmosferskom  $\text{CO}_2$ , Zagreb. pMC = postotak modernog ugljika

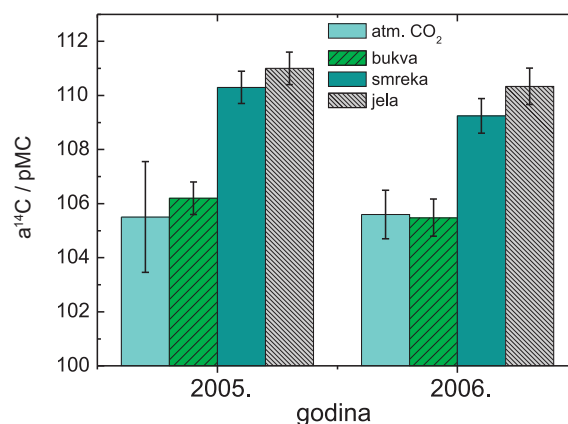
dominantnih smjerova vjetrova  $^{14}\text{C}$  aktivnosti u istim razdobljima niže (151 pMC i 153 pMC). Povišene  $^{14}\text{C}$  aktivnosti izmjerenе su još tijekom nekoliko mjeseci nakon remonta te je procijenjeno vrijeme poluživota  $^{14}\text{CO}_2$  u atmosferi na 1,5 mjeseci. Tijekom preostalog razdoblja na lokaciji B je  $^{14}\text{C}$  aktivnost atmosfere u

prosjeku nešto viša (107 pMC) od one na lokaciji A (105 pMC).

#### Biološki materijal

Na slici 2 prikazana je i srednja godišnja  $^{14}\text{C}$  aktivnost zabilježena u godovima drveća s Plitvičkih jezera i iz okoline Krškog (Libna). Vidljivo je da  $^{14}\text{C}$  aktivnost godova prati promjene  $^{14}\text{C}$  u atmosferskom  $\text{CO}_2$ , te smo tako pokazali da je globalna atmosferska kontaminacija s  $^{14}\text{C}$  prisutna i na inače "čistim" područjima. Ovakva rekonstrukcija lokalne  $^{14}\text{C}$  aktivnosti u nedavnoj prošlosti kasnije se rabi za proučavanje geokemijskog ciklusa ugljika u kršu (18).  $^{14}\text{C}$  aktivnost u godovima drva iz okoline Krškog također prati promjene  $^{14}\text{C}$  aktivnosti u atmosferi, no treba napomenuti da su ti godovi rasli u razdoblju 1979. – 1983. dakle prije početka rada NEK-a.

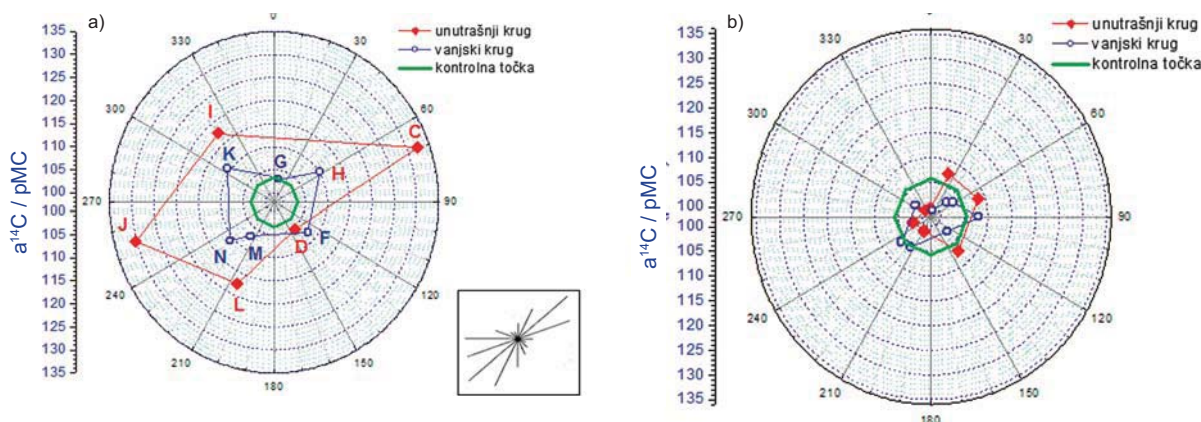
$^{14}\text{C}$  aktivnost u listincu skupljenom u tri različita šumska ekosustava prikazana je na slici 5. Listinac



Slika 5  $^{14}\text{C}$  aktivnost kompozitnog uzorka listinca skupljenog u pretežito bukovoj, smrekovoj i jelovoj šumi 2005. i 2006. godine te usporedba sa srednjom godišnjom  $^{14}\text{C}$  aktivnosti u atmosferskom  $\text{CO}_2$ , sve na području Plitvičkih jezera. pMC = postotak modernog ugljika

bukve pokazuje srednju  $^{14}\text{C}$  aktivnost  $[(105,8 \pm 0,6)$  pMC] koja je bliska srednjoj vrijednosti  $^{14}\text{C}$  aktivnosti atmosferskog  $\text{CO}_2$  na Plitvičkim jezerima za isto razdoblje  $[(105,7 \pm 1,5)$  pMC], dok je  $^{14}\text{C}$  aktivnost listinca smreke  $[(109,8 \pm 0,6)$  pMC] i jeli  $[(110,7 \pm 0,6)$  pMC] viša za 4 pMC do 5 pMC. Kako je  $^{14}\text{C}$  aktivnost listinca odraz  $^{14}\text{C}$  aktivnosti atmosferskog  $\text{CO}_2$  u razdoblju rasta, ova se razlika može objasniti činjenicom da iglice smreke i jeli potječu iz višegodišnjeg razdoblja kad je  $^{14}\text{C}$  aktivnost u atmosferi bila nešto viša nego danas (slika 2).

Na slici 6. prikazana je prostorna raspodjela  $^{14}\text{C}$  aktivnosti u bilju (većinom jabuke, kukuruz, pšenica,



**Slika 6** Prostorna raspodjela  $^{14}\text{C}$  aktivnosti u biološkome materijalu iz unutrašnjeg i vanjskog kruga okoline NEK-a. a) Ljetno uzorkovanje u lipnju 2006. godine nakon remonta u travnju te ruža vjetrova za Krško. b) Ljetno uzorkovanje u srpnju 2007. godine. Radi usporedbe prikazana je i srednja  $^{14}\text{C}$  aktivnost u bilju na kontrolnoj točki u Dobovi. Slova uz simbole označavaju lokacije, (slika 1) pMC = postotak modernog ugljika

trava) iz okoline NEK-a u dva ljetna uzorkovanja, i to u lipnju 2006. godine nakon remonta provedenog u travnju iste godine te u srpnju 2007. Na oba primjera opaža se prostorna raspodjela izdužena u smjeru jugozapad-sjeveroistok koji je određen prevladavajućim smjerom vjetrova (ruža vjetrova na slici 6). Kao što je i bilo za očekivati, povišene aktivnosti  $^{14}\text{C}$  opažene su u biološkom materijalu koji rabi  $\text{CO}_2$  u razdoblju za vrijeme i nakon remonta obavljenog neposredno prije vegetacijskog perioda (slika 6a). U godinama 2006. i 2009. remont elektrane obavljan je u proljeće, tako da su jabuke, čije je razdoblje vegetacije započelo neposredno nakon toga, za fotosintezu rabile nešto aktivniji  $\text{CO}_2$  (usporedi sliku 4). S druge strane, 2007. je remont obavljan u jesen nakon razdoblja vegetacije te je izmjerena  $\text{a}^{14}\text{C}$  u ljetnom skupljanju niža od one prethodne godine (slika 6b). Zbog povećanog ispusta  $^{14}\text{C}$  za vrijeme proljetnog remonta 2006. i 2009. go-

dine, na svim lokacijama je najviša  $^{14}\text{C}$  aktivnost u biološkome materijalu izmjerena u srpnju 2006. i lipnju 2009. (tablica 2). U oba razdoblja tijekom 2007. godine, u kojoj je remont održan tek u listopadu,  $^{14}\text{C}$  aktivnost bilja iz okoline NE-a slična je onoj na kontrolnoj točki kraj Dobove (tablica 2).

## ZAKLJUČAK

Praćenjem  $^{14}\text{C}$  aktivnosti u atmosferskom  $\text{CO}_2$  i u biološkome materijalu na nekoliko lokacija u Hrvatskoj i Sloveniji došli smo do sljedećih zaključaka:

- Promjene  $^{14}\text{C}$  aktivnosti u atmosferi uzrokovane atmosferskim termonuklearnim pokusima opažaju se na globalnoj razini, kao i na svim promatranim lokacijama, uključujući i "čista područja". Nakon najviše vrijednosti 1963.

**Tablica 2** Usporedba srednjih vrijednosti  $^{14}\text{C}$  aktivnosti u biološkim uzorcima iz okoline NEK-a.

Datum skupljanja mjesec/godina	Unutarnji krug	$\text{A}^{14}\text{C} / \text{pMC}$	Kontrolna točka
	Vanjski krug		
07. / 2006.	$120,6 \pm 11,0$	$108,3 \pm 3,0$	$103,2 \pm 1,5$
10. / 2006.	$112,3 \pm 12,0$	$105,1 \pm 2,0$	$104,0 \pm 1,5$
07. / 2007.	$103,7 \pm 3,9$	$103,7 \pm 2,8$	$105,6 \pm 1,9$
09. / 2007.	$106,8 \pm 1,7$	$105,7 \pm 2,6$	$103,8 \pm 1,8$
07. / 2008.	$109,6 \pm 3,5$	$107,3 \pm 1,7$	$104,1 \pm 2,3$
10. / 2008.	$109,1 \pm 3,3$	$109,1 \pm 3,0$	$104,4 \pm 2,7$
06. / 2009.	$117,0 \pm 11,2$	$110,5 \pm 2,0$	$105,4 \pm 1,4$
09. / 2009.	$112,0 \pm 8,5$	$104,7 \pm 2,5$	$102,0 \pm 2,0$

pMC = postotak modernog ugljika

godine,  $^{14}\text{C}$  aktivnost u atmosferi se konstantno postupno smanjuje i približava vrijednostima prije antropogenih poremećaja.

- Dodatne lokalne promjene opažaju se u urbanim središtima s razvijenom industrijom, u kojima dolazi do povećanog izgaranja fosilnih goriva, pogotovo u zimskim mjesecima, što dovodi do lokalnog relativnog smanjenja  $^{14}\text{C}$  aktivnosti u atmosferi, u prosjeku oko 1 pMC u usporedbi s "čistim" područjima. Te se razlike jasno uočavaju u zimskim mjesecima, kad je  $^{14}\text{C}$  aktivnost u atmosferskom  $\text{CO}_2$  u gradovima i do 3 pMC niža nego na "čistom" području.
- Lokalna povišenja  $^{14}\text{C}$  aktivnosti u atmosferskom  $\text{CO}_2$  i u biološkome materijalu opažaju se i u neposrednoj okolini nuklearnih postrojenja, kao što je pokazano na primjeru Nuklearne elektrane Krško u Sloveniji. Povišene  $^{14}\text{C}$  aktivnosti u atmosferskom  $\text{CO}_2$  unutar samog kruga elektrane opažaju se samo u vrijeme izmjene gorivih elemenata (remonta) i kratko vrijeme nakon toga, dok tijekom redovitog rada elektrane  $^{14}\text{C}$  aktivnost u atmosferskom  $\text{CO}_2$  nije značajno povišena u odnosu na "čista" područja.  $^{14}\text{C}$  aktivnost u biološkim uzorcima iz neposredne okolice NEK-a također je malo povišena ako se vegetacijsko razdoblje podudara s razdobljem remonta, a prostorna raspodjela  $^{14}\text{C}$  aktivnosti određena je prevladavajućim smjerom vjetrova.

### Zahvala

U ovom prikazu iskorišteni su podaci dobiveni radom na projektu 098-0982709-2741 Ministarstva znanosti, obrazovanja i športa, na projektu ANTHROPOL.PROT okvirnog programa FP5 Europske komisije te na ugovoru s Nuklearnom elektranom Krško. Zahvaljujemo suradnicima NEK-a na pomoći pri uzorkovanju.

### LITERATURA

1. Krajcar Bronić I. Fizikalne metode datiranja u arheologiji i umjetnosti. U: Herak M, Movre M, Obelić B, Požek M, urednici. I to je fizika... – Zbornik popularnih predavanja na Sveučilištu povodom Svjetske godine fizike. Zagreb: Hrvatsko fizikalno društvo; 2006. str. 69-77.
2. Carbon Dioxide Information Analysis Center (CDIAC). Carbon Isotopes [pristup 25. svibnja 2010.]. Dostupno na <http://cdiac.ornl.gov/carbonisotopes.html>.
3. Krajcar Bronić I, Horvatinčić N, Obelić B. Two decades of environmental isotope record in Croatia: reconstruction of the past and prediction of future levels. Radiocarbon 1998;40:399-416.
4. Horvatinčić N, Barešić J, Krajcar Bronić I, Obelić B. Measurements of low  $^{14}\text{C}$  activities in a liquid scintillation counter in the Zagreb Radiocarbon Laboratory. Radiocarbon 2004;46:105-16.
5. Krajcar Bronić I, Horvatinčić N, Barešić J, Obelić B. Measurement of  $^{14}\text{C}$  activity by liquid scintillation counting. Appl Radiat Isot 2009;67:800-4.
6. Barešić J, Krajcar Bronić I, Horvatinčić N, Obelić B. Mjerenje niskih  $^{14}\text{C}$  aktivnosti uzoraka u obliku benzena u tekućinskom scintilacijskom brojaču. U: Garaj-Vrhovac V, Kopjar N, Miljanić S, urednici. Zbornik radova Šestog simpozija Hrvatskog društva za zaštitu od zračenja; 18.-20. travnja 2005.; Stubičke Toplice, Hrvatska. Zagreb: HDZZ; 2005. str. 158-63.
7. Barešić J, Krajcar Bronić I, Horvatinčić N, Obelić B. Mjerenje niskih  $^{14}\text{C}$  aktivnosti uzoraka pripremljenih metodom apsorpcije  $\text{CO}_2$ . U: Krajcar Bronić I, Miljanić S, Obelić B, urednici. Zbornik radova Petog simpozija Hrvatskog društva za zaštitu od zračenja; 9.-11. travnja 2003.; Stubičke Toplice, Hrvatska. Zagreb: HDZZ; 2003. str. 267-72.
8. Mook WG, van der Plicht J. Reporting  $^{14}\text{C}$  activities and concentrations. Radiocarbon 1999;41:227-39.
9. Krajcar Bronić I, Vreča P, Horvatinčić N, Barešić J, Obelić B. Distribution of isotopic composition of hydrogen, oxygen and carbon in the atmosphere of Croatia and Slovenia. Arh Hig Rada Toksikol 2006;57:23-9.
10. Krajcar Bronić I, Horvatinčić N, Barešić J, Obelić B, Vreča P. A critical review of the atmospheric  $^{14}\text{C}$  activities. U: Second European IRPA Congress on Radiation Protection: from Knowledge to Action. 15.-19. svibnja 2006.; Pariz, Francuska. Book of Abstracts str. 94, Abstract P-168.
11. Krajcar Bronić I, Obelić B, Horvatinčić N, Barešić J, Sironić A, Minichreiter K. Radiocarbon application in environmental science and archaeology in Croatia. Nucl Instr Methods Phys Res A 2010;619:491-6.
12. Obelić B, Krajcar Bronić I, Srdoč D, Horvatinčić N. Environmental  $^{14}\text{C}$  Levels near the 632 MWe Nuclear Power Plant Krško in Yugoslavia. Radiocarbon 1986;28:644-8.
13. Obelić B, Krajcar Bronić I, Barešić J, Sironić A, Breznik B.  $^{14}\text{C}$  aktivnost bioloških uzoraka i atmosferskog  $\text{CO}_2$  u neposrednoj okolini Nuklearne elektrane Krško. U: Barišić D, Grahek Ž, Krajcar Bronić I, Miljanić S, urednici. Zbornik radova Sedmog simpozija Hrvatskog društva za zaštitu od zračenja; 29.-31. svibnja 2008.; Opatija, Hrvatska. Zagreb: HDZZ; 2008. str. 222-9.
14. Obelić B, Krajcar Bronić I, Barešić J, Horvatinčić N, Sironić A, Breznik B.  $^{14}\text{C}$  in biological samples from the vicinity of NPP Krško. U: The Third European IRPA Congress; 14.-18. lipnja 2010.; Helsinki, Finska. Book of abstracts.
15. Barešić J. Primjena izotopnih i geokemijskih metoda u práćenju globalnih i lokalnih promjena u ekološkom sustavu Plitvičkih jezera [disertacija]. Zagreb: Fakultet kemijskog inženjerstva i tehnologije Sveučilišta u Zagrebu; 2009.
16. Levin I, Kromer B. The tropospheric  $^{14}\text{CO}_2$  level in mid-latitudes of the Northern Hemisphere (1959–2003). Radiocarbon 2004;46:1261-72.
17. Levin I, Hammer S, Kromer B, Meinhardt F. Radiocarbon observations in atmospheric  $\text{CO}_2$ : Determining fossil fuel  $\text{CO}_2$  over Europe using Jungfraujoch observations as background. Sci Total Environ 2008;91:211-6.
18. Horvatinčić N, Barešić J, Babinka S, Obelić B, Krajcar Bronić I, Vreča P, Suckow A. Towards a deeper understanding how carbonate isotopes ( $^{14}\text{C}$ ,  $^{13}\text{C}$ ,  $^{18}\text{O}$ ) reflect environmental changes: A study with recent  $^{210}\text{Pb}$ -dated sediments of the Plitvice Lakes, Croatia. Radiocarbon 2008;50:233-53.

**Summary****ENVIRONMENTAL  $^{14}\text{C}$  ACTIVITY: THE ATMOSPHERE AND THE BIOSPHERE**

The natural equilibrium of  $^{14}\text{C}$  activity in atmospheric  $\text{CO}_2$  and in the biosphere has been disturbed globally by various anthropogenic activities. Intensive atmospheric thermonuclear bomb tests in the mid 20<sup>th</sup> century doubled the natural  $^{14}\text{C}$  activity in the atmosphere. Since the bomb test ban, this activity has constantly been decreasing and has almost reached its natural level. This article presents the results of  $^{14}\text{C}$  activity monitoring in atmospheric  $\text{CO}_2$ , tree rings and biological samples at several locations in Croatia and Slovenia. Global changes in  $^{14}\text{C}$  activity have been observed at “clean-air” sites. In urban areas, lower atmospheric  $^{14}\text{C}$  activity is owed to intense fossil fuel combustion, especially in the winter. Higher  $^{14}\text{C}$  activity is observed in near the nuclear power plant during and immediately after refuelling outage. If refuelling is performed in the spring, when plants start to vegetate, increased  $^{14}\text{C}$  activity is also reflected on them.

**KEY WORDS:**  $\text{CO}_2$ , Croatia, nuclear power plant, plants, refuelling, Slovenia, thermonuclear bomb tests

**CORRESPONDING AUTHOR:**

Ines Krajcar Bronić  
Institut Ruđer Bošković  
Bijenička c. 54, 10000 Zagreb  
E-mail: [krajcar@irb.hr](mailto:krajcar@irb.hr)